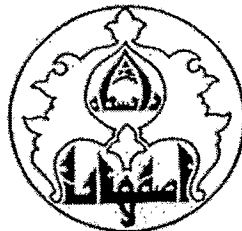


سید

WANC



دانشگاه اصفهان

دانشکده علوم

گروه فیزیک

## پایان نامه کارشناسی ارشد رشته فیزیک گرایش ماده چگال

محاسبه ابتدا به ساکن پارامتر هابارد در دستگاه های همبسته قوی

استاد راهنمای:

دکتر سعید جلالی اسدآبادی

پژوهشگر:

علیرضا فقیهی

۱۳۸۸/۱۰/۲۷

سازمان اطلاعات مردمی  
جمهوری اسلامی ایران

مهرماه ۱۳۸۷

۱۲۹۸۷۲

کلیه حقوق مادی مترتب بر نتایج مطالعات، ابتكارات  
و نوآوری های ناشی از تحقیق موضوع این پایان نامه  
متعلق به دانشگاه اصفهان است.



دانشگاه اصفهان

دانشکده علوم

گروه فیزیک

پایان نامه‌ی کارشناسی ارشد رشته‌ی فیزیک گرایش ماده چگال آقای علیرضا

فقیهی تحت عنوان

## محاسبه ابتدا به ساکن پارامتر هابارد در دستگاه‌های همبسته قوی

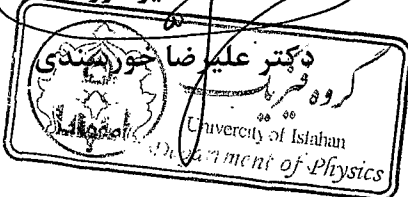
در تاریخ ۱۳۷۸/۷/۱۴ توسط هیأت داوران زیر بررسی و با درجه ..... به تصویب نهاده رسد.

۱- استاد راهنمای پایان نامه دکتر سعید جلالی اسدآبادی با مرتبه‌ی علمی استاد یار امضاء

۲- استاد داور داخل گروه دکتر زهرا نوربخش با مرتبه‌ی علمی استادیار امضاء

۴- استاد داور خارج از گروه دکتر هادی اکبرزاده با مرتبه‌ی علمی استاد امضاء

امضاء مدیر گروه



## تقدیر و تشکر

خداآوند عز و جل را به بزرگی یاد می‌کنم و در برابر مقام ربویتیش سر بر سجده شکر می‌گذارم و او را سپاس می‌گوییم که هرچه دارم از خوان کرم اوست. پس از حمد خداوند برخود لازم می‌دانم از کلیه کسانی که در این کار پژوهشی مرا یاری نموده‌اند تشکر و قدردانی نمایم. هر چند کلامم از بیان سخنی در خور شان پدر و مادرم کوتاه است اما از این عزیزترین کسانم که امروز خود را مدیون فداکاری‌های آنان می‌دانم سپاسگزاری می‌کنم و بوسه سپاس بر دستانشان می‌زنم. همچنین از خانواده عزیزم که همواره با نگاه و کلام محبت آمیزشان مرا مورد حمایت و پشتیبانی قرار داده‌اند تشکر می‌کنم.

صمیمانه از استاد گرامی‌ام جناب آقای دکتر سعید جلالی که نهایت لطف را در امر راهنمایی رساله فرمودند، و بی‌شک بدون حمایت و راهنمایی ایشان این رساله به اتمام نمی‌رسید، تشکر و قدردانی می‌نمایم.

از اساتید گرانقدر جناب آقای دکتر هادی اکبرزاده و سرکار خانم دکتر زهرا نور بخش که داوری این رساله را بر عهده گرفتند سپاسگزاری می‌نمایم.

از دوستان عزیزم آقایان دکتر فرزاد احمدیان و آرش فتحی که همواره از راهنمایی‌های ایشان در پیشبرد این رساله بهرمند بوده‌انم تشکر و قدردانی می‌کنم. همچنین از کلیه دوستانم به ویژه آقایان محمد رضا ستوده، مرتضی رفیعی، محمد دهقانی، علی اکبر گلابی و محسن عاشقیان که همواره مرا مورد لطف خود قرار داده‌اند تشکر می‌کنم.

به امید ایرانی آباد

علی رضا فقیهی

۱۳۸۷ مهرماه

تقدیم

به

خانواده بزرگوارم

## چکیده

در این رساله پارامتر هابارد  $U$  برای برخی دستگاه‌های همیسته قوی به صورت ابتدا به ساکن محاسبه شده است. محاسبات بر پایه نظریه تابعی چگالی به روش امواج تخت بهبود یافته خطی شده با پتانسیل کامل (FP-LAPW+lo) و با استفاده از نرم افزار WIEN2k انجام شده است.

در مرحله اول، محاسبات بر روی برخی فلزات واسطه و ترکیبات آنها که اریتال  $3d$  نیمه پر دارند از جمله بلورهای  $MnO$ ,  $MnAs$ ,  $Fe$ ,  $NiO$ ,  $CoO$ ,  $FeO$  انجام شده است. پارامتر هابارد محاسبه شده در اکثر موارد با نتایج تجربی در توافق بسیار خوبی می‌باشد. همچنین با به کار بردن پارامتر هابارد محاسبه شده در محاسبات  $U$  ساختار الکترونی این بلورها مورد مطالعه قرار گرفته است.

در مرحله دوم، پارامتر هابارد برای برخی بلورهای خاک‌های نادر (لاتانیدها) که اریتال  $4f$  نیمه پر دارند از جمله بلورهای  $Gd$  و  $Tm$  محاسبه شده است. در این موارد نیز نتایج با نتایج تجربی و محاسباتی دیگران در توافق بسیار خوبی است. همچنین با استفاده از پارامتر هابارد محاسبه شده و تقریب‌های  $GGA$  و  $Gd+U$  ساختار بلور  $Gd$  مورد مطالعه قرار گرفته است. سپس از ترکیبات خاک‌های نادر، بلورهای  $Al_2$ ,  $SmAl_2$ ,  $EuAl_2$ ,  $GdAl_2$  و  $TbAl_2$  مورد مطالعه قرار گرفته اند. محاسبات نشان می‌دهند در این سری از ترکیبات به جز در موارد استثنای افزایش عدد اتمی در لاتانیدها پارامتر هابارد نیز افزایش می‌یابد. این افزایش در سری اکسید فلزات واسطه نیز مشاهده می‌شود.

در مرحله آخر از سری آکتنیدها که در آنها اریتال  $5f$  در حال پر شدن می‌باشد، پارامتر هابارد برای اتم اورانیوم ( $U$ ) در ترکیب  $UBi_2$  محاسبه شده است.

**واژه‌های کلیدی:** FP-LAPW+lo, DFT, LDA+U

## فهرست مطالب

صفحه	عنوان
فصل اول : مطالعه دستگاه‌های بس ذره‌ای	
۲	۱-۱ مطالعه کوانتمی بلور .....
۳	۱-۲ تقریب بورن - اپنهایمر .....
۵	۱-۳ نظریه تابعی چگالی.....
۶	۱-۳-۱ قضایای هوهنبرگ-کان .....
۸	۱-۳-۲ معادلات کان-شم.....
۱۲	۱-۴ تابعی انرژی تبادلی-همبستگی .....
۱۲	۱-۵ تقریب چگالی موضعی (LDA) .....
۱۳	۱-۶ تقریب شبیه تعمیم یافته(GGA).....
فصل دوم: دستگاه‌های همبسته قوی	
۱۸	۲-۱ گذار فلز - عایق (گذار مات).....
۲۱	۲-۲ عایق‌های مات - هابارد و عایق‌های انتقال بار.....
۲۳	۲-۳ دستگاه فرمیونی سنگین.....
۲۷	۲-۴ خواص مغناطیسی.....
۲۷	۲-۵ حل دستگاه‌های همبسته قوی .....
۲۸	۲-۵-۱ مدل هابارد .....
۲۹	۲-۵-۲ حل دستگاه‌های همبسته قوی در نظریه تابعی چگالی (DFT) .....
۳۱	۲-۵-۲-۱ روش مغزه باز(open core) .....
۳۲	۲-۵-۲-۲ رهیافت LDA+U .....
فصل سوم: پارامتر هابارد	
۳۷	۳-۱ مفهوم پارامتر هابارد .....
۴۱	۳-۲ عوامل موثر بر پارامتر هابارد در یک ساختار بلوری .....
۴۴	۳-۳ روش های محاسبه پارامتر هابارد U .....
۴۵	۳-۳-۱ تخمین پارامتر هابارد بر اساس کمیت‌های آزمایشگاهی یک بلور .....
۴۶	۳-۳-۲ روش محاسبه پارامتر هابارد به صورت ابتدا به ساکن.....

## عنوان

## صفحة

فصل چهارم: مراحل محاسبه پارامتر هابارد $\mathbf{U}$ ( $F_{\text{eff}}^{\circ}$ ) در کد محاسباتی <b>WIEN2k</b>	
۱-۴ محاسبه $F_{\text{eff}}^{\circ}$ در فاز فرومغناطیسی	۵۳
۱-۱-۴ $\epsilon_F(3,2/5)$ و $\epsilon_{3d\uparrow}(3,2/5)$	۵۴
۲-۱-۴ $\epsilon_F(3,1/5)$ و $\epsilon_{3d\uparrow}(3,1/5)$	۶۵
فصل پنجم: محاسبه پارامتر هابارد در برخی بلورها	
۱-۵ جزئیات محاسبات	۷۰
۲-۵ محاسبه $F_{\text{eff}}^{\circ}$ در فلزات واسطه	۷۱
۱-۲-۵ محاسبه بهینه مقادیر Kpoint	۷۲
۲-۲-۵ بلور $\text{MnO}$	۷۳
۱-۲-۳-۵ بلور $\text{MnAs}$	۷۸
۲-۲-۲-۵ ساختار الکترونی $\text{MnO}$	۷۹
۳-۲-۵ بلور $\text{NiO}$	۸۰
۱-۳-۲-۵ چگالی حالت‌ها در بلور $\text{NiO}$	۸۱
۲-۳-۲-۵ ساختارهای نواحی انرژی در بلور $\text{NiO}$	۸۵
۳-۳-۲-۵ ممان مغناطیسی در بلور $\text{NiO}$	۸۷
۴-۲-۵ بلور $\text{FeO}$	۸۸
۱-۴-۲-۵ ساختار الکترونی $\text{FeO}$	۸۹
۵-۲-۵ بلور $\text{Fe}$	۹۰
۶-۲-۵ بلور $\text{CoO}$	۹۲
۱-۶-۲-۵ ساختار الکترونی $\text{CoO}$	۹۳
۷-۲-۵ نتیجه	۹۶
۳-۵ محاسبه $F_{\text{eff}}^{\circ}$ در خاک‌های نادر (لانتانیدها)	۹۹
۱-۳-۵ بلور $\text{Gd}$	۱۰۱
۱-۱-۳-۵ حجم تعادلی و مدول حجمی بلور $\text{Gd}$	۱۰۲
۲-۱-۳-۵ چگالی حالت‌ها در بلور $\text{Gd}$	۱۰۲
۳-۱-۳-۵ ممان مغناطیسی در بلور $\text{Gd}$	۱۰۵
۲-۳-۵ بلور $\text{Tm}$	۱۰۵

صفحه	عنوان
۱۰۵	۴-۵ محاسبه $F_{eff}^{\circ}$ برای خاک‌های نادر در ترکیبات $RAL_2$ (لانتانیدها= R)
۱۰۹	۱-۴-۵ بلور $GdAl_2$
۱۱۰	۲-۴-۵ بلور $EuAl_2$
۱۱۱	۳-۴-۵ بلور $SmAl_2$
۱۱۲	۴-۴-۵ بلور $TbAl_2$
۱۱۳	۵-۴-۵ نتیجه
۱۱۵	۵-۵ محاسبه $F_{eff}^{\circ}$ در آکتنیدها
۱۱۶	۱-۵-۵ بلور $UBi_2$
۱۱۹	نتیجه گیری
۱۲۰	منابع و مأخذ

## فهرست شکل‌ها

عنوان	
صفحه	
۱۸	شکل ۱-۲ - جدول تناوبی عناصر.....
۱۹	شکل ۲-۲ - طرح واره نمایشی از وابستگی ساختار نواری بستگی قوی بلور Na به ثابت شبکه(a). نوارهای 2s و 3s بر حسب انرژی نمایش داده شده‌اند. نوار نیمه پر 3s در $a_0$ (ثابت شبکه تعادلی) دارای پهنهای زیاد بوده که با افزایش ثابت شبکه از پهنهای آن کاسته می‌شود[۵]
۲۰	شکل ۳-۲ - طرح واره‌ای از انتقال یک الکترون در داخل بلور Na[۵]
۲۲	شکل ۴-۲ - (a) طرح واره عایق مات. (b) طرح واره عایق انتقال بار.
۳۳	شکل ۵-۲ - طرح واره چگالی حالت‌ها حاصل از رفتار نادرست LDA برای یک نیمه هادی مات-هابارد. تراز فرمی بر محور عمودی منطبق است[۲۴]
۳۴	شکل ۶-۲ - طرح واره چگالی حالت‌ها حاصل از رفتار درست U LDA+U برای یک نیمه هادی مات-هابارد. تراز فرمی بر محور عمودی منطبق است[۲۴]
۳۸	شکل ۱-۳ - پیکربندی‌های مختلف دو اتم هیدروژن (یک ملکول هیدروژن) در حالت پایه با در نظر گرفتن اسپین الکترون‌ها[۵]
۳۸	شکل ۲-۳ - پیکربندی دو اتم هیدروژن (یک ملکول هیدروژن) در حالت یونیزه[۵]
۴۲	شکل ۳-۳ - تغییر U با افزایش تعداد اتم‌های Fe در بلور FeO [۳۲]
۴۳	شکل ۴-۳ - تغییر U برای اتم Fe در مکان‌های اتمی مختلف در ترکیب $Fe_2SiO_4$ [۳۲]
۴۴	شکل ۵-۳ - تغییر U با تغییر ثابت شبکه در بلور Fe [۳۲]
۷۲	شکل ۱-۵ - نظم اسپینی ساختار پاد فرومغناطیس نوع دوم (AFII) در راستای صفحه [۱۱۱]. اتم‌های قرمز رنگ (دارای اسپین) اتم فلزات واسطه و اتم‌های آبی رنگ اتم اکسیژن می‌باشند[۳۲]
۷۳	شکل ۲-۵ - نمودار انرژی کل بر حسب تعداد Kpoint‌ها برای بلور MnO
۷۶	شکل ۳-۵ - نمودار $F_{eff}$ بر حسب تعداد اتم‌ها در بلور MnO
۸۳	شکل ۴-۵ - چگالی حالت‌های NiO در فاز GGA. DOS (a) DOS (b) DOS (c) اریتال ۳d
۸۴	شکل ۵-۵ - چگالی حالت‌های NiO در فاز DOS (d) DOS (e) DOS (f) DOS (g) اریتال ۳d
۸۴	شکل ۶-۵ - چگالی حالت‌های اتم O در فاز DOS (e) DOS (f) DOS (g) در Faz GGA

## عنوان

## صفحه

..... شکل ۵-۷- چگالی حالت‌های NiO در فاز LDA+U منحنی DOS ساختار LDA+U در فاز NiO	85
..... را ترکیبی از عایق انتقال بار و عایق مات هابارد پیش بینی می‌کند)	
..... شکل ۵-۸- نمودار ساختار الکترونی NiO در فاز GGA	86
..... شکل ۵-۹- نمودار ساختار الکترونی NiO در فاز U LDA+U	86
..... شکل ۵-۱۰- نمودار ساختار الکترونی CoO در فاز GGA+U	95
..... شکل ۵-۱۱- نمودار مقدار $F_{eff}^0$ برای اکسید فلزات واسطه در فاز فرومغناطیس و فاز پارامغناطیس	96
..... شکل ۵-۱۲- حجم تجربی بلور لانتانیدها [۸۴]	99
..... شکل ۵-۱۳- چگالی حالت‌های Gd در فاز GGA (a) DOS کل بلور Gd، (b) DOS اربیتال ۴f، (c)	
..... تفاضل DOS کل بلور و DOS اربیتال ۴f (d) DOS اربیتال ۴f همراه با منحنی تفاضل DOS کل	
..... بلور و DOS اربیتال ۴f	104
..... شکل ۵-۱۴- چگالی حالت‌های Gd در فاز LDA+U منحنی DOS (a) DOS کل بلور Gd، (b)	
..... اربیتال ۴f، (c) تفاضل DOS کل بلور و DOS اربیتال ۴f، (d) DOS اربیتال ۴f همراه با منحنی	
..... تفاضل DOS کل بلور و DOS اربیتال ۴f	104
..... شکل ۵-۱۵- ساختار ترکیبات RAl <sub>2</sub> با گروه فضایی Fd-3m اتم‌های بزرگتر اتم R (لانتانیدها) و اتم-	
..... های کوچکتر اتم Al هستند.	108
..... شکل ۵-۱۶- نمودار تغییرات $F_{eff}^0$ در ترکیبات RAl <sub>2</sub>	113
..... شکل ۵-۱۷- تغییرات ثابت شبکه تجربی در ترکیبات RAl <sub>2</sub>	114
..... شکل ۵-۱۸- یاخته واحد مغناطیسی ترکیب UBi <sub>2</sub> با گروه فضایی P <sub>4</sub> /mm	116

## فهرست جدول‌ها

صفحه	عنوان
۴۱	جدول ۳-۱- مقادیر $U$ برای $Fe$ در ترکیبات مختلف
۵۹	جدول ۴-۱- حداکثر عدد اشغال به ازای عدد کوانتمی به ازای عدد کوانتمی نسبیتی و عدد کوانتمی مداری کل برای اربیتال‌های $f$ , $d$ , $p$ و $s$ [۲۴]
۷۵	جدول ۵-۱- جملات اول، دوم، سوم و چهارم در معادله (۱۹-۳) برای ابر سلول با ابعاد مختلف (تعداد اتم‌های مختلف) و مقدار $F_{eff}^{\circ}$ برای هر کدام از ابر سلول‌ها
۷۹	جدول ۵-۲- ثابت شبکه محاسباتی و تجربی ( $\text{Å}$ )، مدول حجمی ( $B$ (GPa)، ممان مغناطیسی اسپینی ( $M_s(\mu_B)$ و گاف انرژی ( $\Delta(eV)$ برای بلور $MnO$
۷۸	جدول ۵-۳- ممان مغناطیسی و گاف انرژی ترکیب $NiO$
۹۰	جدول ۵-۴- ثابت شبکه محاسباتی و تجربی ( $\text{Å}$ )، مدول حجمی ( $B$ (GPa)، ممان مغناطیسی اسپینی ( $M_s(\mu_B)$ و گاف انرژی ( $\Delta(eV)$ برای بلور $FeO$
۹۱	جدول ۵-۵- ثابت شبکه ( $a(a.u.)$ ، مدول حجمی ( $B(Mbar)$ ، ممان مغناطیسی اسپینی ( $M_s(\mu_B)$ و برای $Fe$ بلور
۹۴	جدول ۵-۶- ثابت شبکه محاسباتی و تجربی ( $\text{Å}$ )، مدول حجمی ( $B$ (GPa)، ممان مغناطیسی اسپینی ( $M_s(\mu_B)$ و گاف انرژی ( $\Delta(eV)$ برای بلور $CoO$
۹۷	جدول ۵-۷- پارامتر هابارد مؤثر محاسبه شده ( $F_{eff}^{\circ}$ )، پارامتر هابارد مؤثر ( $U^{eff}$ ) و پارامتر مؤثر تجربی ( $U_{emp}$ , $U_{emp}^{eff}$ )
۱۰۵	جدول ۵-۸- ویژگی‌های بلور $Gd$ hcp محاسبه شده در تقریب‌های GGA و $U_0$ LDA+U حجم تعادلی و $B$ ، مدول حجمی و $\Delta_f$ ، شکافتگی تراز $f$ در حالت اسپین بالا و اسپین پایین، $m$ ممان مغناطیسی
۱۰۸	جدول ۵-۹- اطلاعات اولیه برای ساختن فایل $RAl_2.struct$
۱۰۹	جدول ۵-۱۰- اطلاعات اولیه برای ساختن فایل $RAl_2.struct$
۱۱۴	جدول ۵-۱۱- پارامتر هابارد مؤثر ( $F_{eff}^{\circ}$ ) محاسبه شده در ترکیبات $_{2}AlR$
۱۱۷	جدول ۵-۱۲- ثابت‌های شبکه و پارامترهای داخلی بلور $Bi_2UB$ [۱۰۶]

درک ما از جزئیات فیزیکی یک دستگاه اغلب بر اساس رهیافت مدل هامیلتونی و حل معادله شرودینگر مربوط به آن دستگاه می‌باشد. از جمله دستگاه‌هایی که به دلیل ویژگی‌های ساختاری و کاربردهای منحصر به فرد آنها همواره مورد علاقه پژوهشگران بوده‌اند، دستگاه‌های همیسته قوی می‌باشند. در چنین دستگاه‌هایی اثر بر همکنش الکترون-الکترون نقش اساسی ایقا می‌کند. لذا در دهه‌های اخیر جستجو برای یافتن رهیافت‌هایی که بتواند این ساختارها را به خوبی توصیف کند همواره مورد توجه قرار داشته است. ارایه مدل‌هایی همچون و مدل آندرسون<sup>[۲۷]</sup> مدل هابارد<sup>[۲۸]</sup> در همین راستا بوده است. در این مدل‌ها بر همکنش‌های کولنی  $U$  (پارامتر هابارد) مهمترین کمیتی است که رفتار الکترون‌های جایگزیده را توصیف می‌کند. بنابراین از زمان ارایه این مدل‌ها بدست آوردن مقدار این پارامتر از سوی محققین مورد توجه بوده است. از طرف دیگر با ارایه رهیافت  $LDA+U$  در سال ۱۹۹۱<sup>[۲۳]</sup> که بر مبنای مدل هابارد و نظریه تابعی چگالی استوار است، تلاش برای یافتن روش‌های ابتدا به ساکن برای محاسبه این پارامتر مورد توجه بیشتری قرار گرفته است. اما به هر صورت اندازه گیری یا محاسبه پارامتر هابارد در بسیاری از موارد برای پژوهشگران ماده چگال مشکل بوده و بنابراین بکارگیری روش  $LDA+U$  را با مشکلاتی روبرو ساخته است. با آنکه نزدیک یک دهه از بکارگیری روش  $U+LDA$  در پژوهش‌های داخلی می‌گذرد در تمامی موارد بررسی شده، هیچ راه کار مناسب و ابتدا به ساکنی برای محاسبه پارامتر هابارد در این پژوهش‌ها مشاهده نشده است. این بررسی نشان می‌دهد که در تمامی پژوهش‌های انجام شده به کمک محاسبات  $U+LDA$  پارامتر هابارد عمدها به دو صورت بدست آورده شده و در این محاسبات مورد استفاده قرار گرفته است. این راه کارها عبارتند از:

۱- در اکثر موارد پارامتر هابارد مورد نیاز از دیگر مقالات که برای موارد مشابه ذکر شده است استخراج و در محاسبات به کار گرفته شده است.

۲- در بسیاری از موارد نیز که این مقدار در مقالات یافت نمی‌شود روش دومی به کار گرفته می‌شود که به نوعی حدس زدن پارامتر هابارد مناسب شبیه می‌باشد. در این روش مساله مورد نظر را با مقادیر  $U$  مختلف به شکل جداگانه حل کرده و مقداری از  $U$  که منجر به تولید کمیات آزمایشگاهی می‌شود را به عنوان  $U$  مناسب اختیار می‌کنند. از لحاظ منطقی به این روش ایرادها و اشکالات اساسی وارد می‌باشد.

از این رو در این پایان‌نامه سعی شده است با معرفی یک روش ابتدا به ساکن گام موثری در زمینه محاسبات  $U+LDA$  و انجام تحقیقات در ضمینه دستگاه‌های همیسته قوی برداشته شود. به عبارت دیگر با هدف مستحکم کردن این گونه مطالعات این پروژه انجام شده است.

در این پایان‌نامه در فصل اول به اختصار روش‌های حل دستگاه‌های بس ذرهای به همراه نظریه تابعی چگالی مورد بررسی قرار گرفته‌اند.

در فصل دوم دستگاههای همبسته قوی معرفی شده و برخی ویژگی‌های ساختاری آنها مورد بحث قرار گرفته است. همچنین روش‌های ارایه شده برای حل این دستگاهها از جمله مدل هابارد و برخی روش‌های مطرح در نظریه تابعی چگالی معرفی شده‌اند.

در فصل سوم مفهوم پارامتر هابارد  $U$  و عوامل موثر بر این پارامتر در یک بلور مورد بررسی قرارگرفته و سپس فرمول-بندی یک روش ابتدا به ساکن برای محاسبه پارامتر هابارد انجام شده است.

در فصل چهارم مراحل محاسبه پارامتر هابارد در کد محاسباتی WIEN2k گام به گام ارایه شده است.

در فصل پنجم در ابتدا سعی شده است بلورهای مناسبی از گروه‌های مختلف دستگاههای همبسته قوی انتخاب شوند که خواص ساختاری آنها به صورت محاسباتی و تجربی به اندازه کافی در اختیار باشند تا بتوان با مقایسه نتایج محاسبات با نتایج دیگران ارزیابی درستی از مناسب بودن این روش انجام داد. از جمله این ترکیبات برخی بلورهای اکسید فلزات واسطه و برخی لاتنانیدها انتخاب شده‌اند. سپس با اطمینان از صحت نتایج و مناسب بودن این روش برای محاسبه پارامتر هابارد به محاسبه این پارامتر در سایر ترکیبات دستگاههای همبسته قوی پرداخته شده است.

## فصل اول

### مطالعه دستگاه‌های بس ذره‌ای

#### مقدمه

تلقی ما از دستگاه‌های بس ذره‌ای دستگاه‌هایی می‌باشند که به طور کلی از تعدادی ذرات مشابه و غیر مشابه تشکیل یافته‌اند. از مهمترین این دستگاه‌ها می‌توان به بلور‌ها اشاره کرد که توصیف و بررسی آنها همواره از سوی پژوهشگران در دست بررسی بوده است. حضور اتم‌هایی با ویژگی‌های خاص در ساختارهای بلوری متفاوت، ویژگی‌های یک بلور را تحت تأثیر قرار می‌دهند. بررسی یک ساختار بلورین به عنوان یک دستگاه بس ذره‌ای به دو روش امکان‌پذیر است. یکی از این روش‌ها، روش کلاسیک و دیگری روش کواتومی (ابتدا به ساکن)<sup>۱</sup> می‌باشد. در هر دوی این روش‌ها حل دقیق و بدست آوردن جواب‌های منطبق بر مقادیر تجربی امکان‌پذیر نمی‌باشد. بنابراین ساده‌سازی ساختار و ارایه مدل‌های مختلف همراه با تقریب‌های متفاوت برای حل این دستگاه‌ها اجتناب ناپذیر است. آنچه در روش کلاسیک مورد توجه قرار می‌گیرد تشکیل یک پتانسیل مناسب برای مجموع ذرات تشکیل دهنده بلور می‌باشد. اما در روش کواتومی تشکیل یک معادله شرودینگر بس ذره‌ای و حل آن، به عنوان راه کار اصلی برای بدست آوردن ویژگی‌های ساختاری بلور پیشنهاد می‌شود. اینکه ما روش کلاسیک را برای بررسی یک بلور انتخاب می‌کنیم یا روش کواتومی را، به نوع مساله مورد مطالعه و دقت مورد نیاز بستگی دارد.

<sup>1</sup> Ab-Initio

امروزه انجام دسته کارهای محاسباتی با کمک گرفتن از رایانه بر مبنای روش‌های کلاسیک و کوانتومی به سرعت توسعه یافته است. بر مبنای این روش‌ها معایب و محسن متعددی را برای کارهای محاسباتی می‌توان برشمرد. از مزایای روش‌های محاسباتی بر مبنای کلاسیک بالا بودن سرعت محاسبات است. این در صورتی است که در روش‌های کوانتومی بالا بودن حجم محاسبات از عده ترین مشکلات این روش‌ها محسوب می‌شود. در عوض بسیاری از کمیت‌هایی که مربوط به رفتار الکترون‌ها می‌باشد تنها توسط روش‌های کوانتومی قابل محاسبه است. از آنجایی که درین پایان‌نامه محاسبات بر مبنای روش‌های کوانتومی می‌باشد در ادامه به اختصار به روش مطالعه کوانتومی یک بلور می‌پردازیم.

### ۱-۱-مطالعه کوانتومی بلور

همان‌طور که گفته شد یک بلور به عنوان یک دستگاه بس ذره‌ای از تعداد زیادی الکترون و هسته تشکیل شده است. برای محاسبه کوانتومی انرژی بلور باید معادله شرودینگر مربوط به آن را حل کنیم. معادله شرودینگر یک دستگاه شامل  $N$  ذره در حال برهمنکش به صورت زیر است:

$$H\Psi(\vec{r}_i, \vec{R}_\alpha) = E\Psi(\vec{r}_i, \vec{R}_\alpha), \quad (1-1)$$

در این معادله عملگر هامیلتونی  $H$  بر روی تابع موج بس ذره‌ای  $(\vec{r}_i, \vec{R}_\alpha)\Psi$  عمل می‌کند و  $E$  معرف انرژی کل دستگاه است. هامیلتونی این دستگاه بس ذره‌ای شامل انرژی جتبشی الکترون‌ها و یون‌ها، برهمنکش بین یون‌ها، بر همکنش بین الکترون‌ها و برهمنکش بین الکترون‌ها و یون‌ها است. بنابراین داریم:

$$H = H_{ke}^e + H_{ke}^l + H^{e-e} + H^{l-l} + H^{e-l}, \quad (2-1)$$

که در آن هر یک از جمله‌ها به قرار زیراند:

$$H_{ke}^e = \sum_i \frac{-\hbar^2 \nabla_i^2}{2m}, \quad H_{ke}^l = \sum_\alpha \frac{-\hbar^2 \nabla_\alpha^2}{2M_\alpha}, \quad (3-1)$$

در این عبارت جملات به ترتیب از چپ به راست معرف انرژی جنبشی الکترون‌ها و انرژی جنبشی یون‌ها است.

قسمت برهمکنشی این هامیلتونی نیز شامل جملات زیر است:

$$H^{e-e} = \frac{1}{2} \sum_{i \neq j} \frac{e^2}{4\pi\epsilon_0 |\vec{r}_i - \vec{r}_j|}, \quad H^{I-I} = + \frac{1}{2} \sum_{\alpha \neq \beta} \frac{Z_\alpha Z_\beta e^2}{4\pi\epsilon_0 |\vec{R}_\alpha - \vec{R}_\beta|}, \quad H^{e-I} = \sum_i \frac{Z_\alpha e^2}{4\pi\epsilon_0 |\vec{r}_i - \vec{R}_\alpha|}, \quad (4-1)$$

در این عبارت جملات به ترتیب از چپ به راست معرف: انرژی برهمکنش‌های الکترون-الکترون، انرژی برهمکنش‌های یون-یون و انرژی برهمکنش‌های الکترون-یون می‌باشد.

حل معادله (۱-۱) به صورت تحلیلی و دقیق تنها برای اتم هیدروژن آن هم با فرض آن که به هسته آن مانند یک بار نقطه‌ای نگریسته شود قابل انجام است. اما با توجه به آنکه با تعداد زیادی ذره مواجه هستیم، برای حل این معادله باید تقریب‌هایی به کار ببریم. در ادامه به اختصار برخی از این تقریب‌ها را معرفی می‌کنیم.

## ۲-۱ تقریب بورن-اپنهایمر

تابع موج کل یک دستگاه بس ذره‌ای حاوی مختصات همه الکترون‌ها و همه یون‌هاست. اولین تقریب که برای حل معادله شرودینگر این دستگاه بکار گرفته می‌شود از اختلاف چشم‌گیر جرم الکترون و هسته ناشی می‌شود. با توجه به این ویژگی می‌توان فرض کرد که هسته‌ها در چارچوب مرجع الکترون‌ها به صورت لحظه‌ای ساکن هستند و در بررسی حرکت هسته‌های فرض می‌شود که الکترون‌ها در حالت زمینه قرار دارند. در این صورت حرکت الکترون‌ها و هسته‌ها مستقل از یکدیگر خواهند بود. در این تقریب که به تقریب بورن-اپنهایمر معروف است می‌توانیم تابع موج کل دستگاه را به صورت حاصل ضرب تابع موج مربوط به الکترون‌ها  $(\psi(\vec{r}_i, \vec{R}_\alpha))$  در تابع موج یون‌ها  $(\psi(\vec{R}_\alpha))$  بنویسیم:

$$\Psi(\vec{r}_i, \vec{R}_\alpha) = \phi_e(\vec{r}_i, \vec{R}_\alpha) \phi_I(\vec{R}_\alpha), \quad (5-1)$$

که در آن  $\vec{R}_\alpha$ ‌ها مختصات یون‌ها و  $\vec{r}_i$ ‌ها مختصات الکترون‌ها را نمایش می‌دهد. در تابع موج الکترون‌ها مختصات یون‌ها به صورت پارامتر وارد می‌شود. با درج این تابع موج در معادله شرودینگر (۱-۷) داریم:

$$H\phi^e(\vec{r}_i, \vec{R}_\alpha)\phi^l(\vec{R}_\alpha) = E_{tot}\phi^e(\vec{r}_i, \vec{R}_\alpha)\phi^l(\vec{R}_\alpha). \quad (6-1)$$

با تفکیک هامیلتونی به بخش‌های تابع مختصات الکترونی و تابع مختصات یونی داریم:

$$\left( \sum_i -\frac{1}{\gamma m} \nabla_i^2 + V_{e-e} + V_{e-I} \right) \phi^e \phi^l + \left( \sum_\alpha -\frac{1}{\gamma M_\alpha} \nabla_\alpha^2 + V_{I-I} \right) \phi^e \phi^l = E_{tot} \phi^e \phi^l, \quad (7-1)$$

با توجه به آنکه تابع موج یون‌ها به مکان الکترون‌ها وابسته نیست داریم:

$$\phi^l \left( \sum_i -\frac{1}{\gamma m} \nabla_i^2 + V_{e-e} + V_{e-I} \right) \phi^e + \left( \sum_\alpha -\frac{1}{\gamma M_\alpha} \nabla_\alpha^2 + V_{I-I} \right) \phi^e \phi^l = E_{tot} \phi^e \phi^l, \quad (8-1)$$

در معادله‌ی ویژه مقداری زیر برای الکترون‌ها،  $E_{el}$  ویژه مقدار انرژی الکترون‌ها در یک پیکربندی معین از یون‌هاست.

$$\left( \sum_i -\frac{1}{\gamma m} \nabla_i^2 + V_{e-e} + V_{e-I} \right) \phi^e = E_{el} \phi^e. \quad (9-1)$$

اگر این معادله را در رابطه‌ی (8-1) قرار دهیم داریم:

$$\left( \sum_\alpha -\frac{1}{\gamma m} \nabla_\alpha^2 + V_{I-I} + E_{el} \right) \phi^l = E_{tot} \phi^l, \quad (10-1)$$

معادله (10-1) به معادله‌ی بس ذره‌ای یون‌ها معروف است. به دلیل این که یون‌ها سنگین هستند، می‌توانیم معادله (10-1) را به صورت کلاسیکی حل کنیم. بنابراین انرژی کل بلور از رابطه زیر محاسبه می‌گردد.

$$E_{tot} = \sum_\alpha \frac{P_\alpha^2}{\gamma M_\alpha} + \frac{1}{\gamma} \sum_{\alpha \neq \beta} \frac{Z_\alpha Z_\beta e^2}{4\pi \epsilon_0 |\vec{R}_\alpha - \vec{R}_\beta|} + E_{el}(\vec{R}_1, \vec{R}_2, \dots). \quad (11-1)$$

### ۱-۳ نظریه تابعی چگالی

همان طور که گفته شد به کارگیری تقریب بورن-ابنهايمر به ما اجازه می دهد که معادله شرودينگر مربوط به مجموعه الکترون ها و هسته ها را به دو معادله، یکی برای الکترون ها و دیگری هسته ها تفکیک کنیم. اما عمدۀ تلاش های انجام شده برای حل معادله بس الکترونی بوده است. حل این معادله بس الکترونی به علت زیاد بودن تعداد الکترون ها بسیار دشوار است. دو رهیافت متفاوت برای حل این معادله وجود دارد. در رهیافت اول تابع موج به عنوان متغیر اصلی معرفی می گردد و با در نظر گرفتن شکل تقریبی برای تابع موج معادله شرودينگر را حل می - کنند. در این رهیافت تقریب هایی از جمله تقریب های هارتی و هارتی فوک به کار می رود. رهیافت دوم چگالی الکترونی را به عنوان متغیر اصلی معرفی می کند. چگالی ( $\rho$ ) یک کمیت قابل اندازگیری می باشد و فقط تابع سه متغیر مکانی است این در حالی است که تابع موج کمیتی غیر قابل اندازگیری و تابع مکانی  $N$  متغیر می باشد. لذا رهیافت دوم نسبت به رهیافت اول مزایای قابل توجهی برای حل دستگاه بس الکترونی دارا می باشد.

محاسبات انجام شده در این پایان نامه نیز بر مبنای نظریه تابعی چگالی استوار است. هوهنبرگ و کان [۱] در سال ۱۹۶۴ شالوده نظریه تابعی چگالی را با ارایه دو قضیه اساسی بنا نمودند. براساس این دو قضیه تمامی خواص حالت زمینه دستگاه بس الکترونی را می توان به صورت تابعی های یکتاپی از چگالی بیان کرد. از جمله این خواص به انرژی کل دستگاه می توان اشاره نمود. در نتیجه با محاسبه انرژی کل دستگاه و کمینه کردن آن، انرژی حالت زمینه و در نتیجه سایر خواص حالت زمینه به دست می آیند. بر مبنای این دو قضیه، کان و شم [۲] در سال ۱۹۶۵ با فرض یک دستگاه بس الکترونی غیر برهمنکنشی به دسته معادلاتی رسیدند که با حل این معادلات به صورت خودسازگار چگالی حالت زمینه دستگاه محاسبه می گردد. و با داشتن چگالی حالت زمینه انرژی حالت زمینه قابل محاسبه می شود.